

# 矩形光栅正弦象生成的研究

INVESTIGATION ON THE FORMATION OF  
SINE IMAGE OF RECTANGULAR GRATING

程堂郭 袁祥辉 黄波

Chen Tangguo Yuan Xianhui Huang Bo

(应用物理系) (光电精密仪器系)

**摘 要** 平行光栅成像系统的OTF, 等效为强度调制线性滤波器, 当系统含有十分严重聚焦误差时, 我们推导出公式  $\rho_c = \frac{\lambda}{4.4\omega_1} \rho_0$ , 计算结果与实验数据吻合, 从而给予矩形光栅正弦象以正确的解释。

**关键词** 光学传递函数; 截止频率; 象差函数

**ABSTRACT** OTF of a diffraction-limited incoherent imaging system is equivalent to a linear filter of the spectrum of the intensity when the system focusing error is very serious, we derive a formula  $\rho_c = \frac{\lambda}{4.4\omega_1} \rho_0$ , and these results of calculation agree with the experimental data, which is exact explanation to the sine image of rectangular grating.

**KEY WORDS** Optical transfer function; cutoff frequency; aberration function

## 一、前 言

矩形光栅粗光栅(简称粗光栅, 其栅距  $r = 0.5\text{mm}$ ) 光强信号, 经简单的并含有十分严重的聚焦误差光学系统后, 可获得正弦象。正弦象投影到光学扫描器(一种专用的 MOS 图象传感器)上, 能构成一种动态电子扫描新型的光栅位移测量系统, 它具有传感头与标尺光栅之间的间隙特别大(15mm左右), 耐现场污染, 对安装和使用环境要求不高等优点, 可广泛用于机械加工和机械运动的位移量精密检测。本文着重分析矩形光栅正弦象的成因, 这对于光学传递函数(OTF)的进一步研究和用(GS16)光学扫描器构成粗光栅系统的原理研究, 都具有很大的意义。

本文于1988年4月30日收到

## 二、矩形光栅强度空间频谱分析

如图 1 所示, 光栅的光强透过率表为:

$$t(x) = \sum_{n=-\infty}^{\infty} C_n e^{i k \frac{1}{\tau} n x} \quad (1)$$

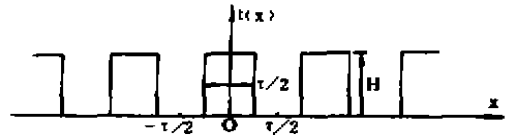


图 1

显然

$$t(x) = \begin{cases} 0 & -\tau/2 \leq x \leq -\tau/4 \\ H & -\tau/4 \leq x \leq \tau/4 \\ 0 & \tau/4 < x \leq \tau/2 \end{cases} \quad (2)$$

(1) 式中  $C_n$  可表为 ( $\gamma_0 = \frac{1}{\tau}$ ):

$$C_n = \frac{1}{\tau} \int_{-\tau/2}^{\tau/2} t(x) e^{i 2\pi n x} dx = \frac{H}{2} \text{sinc} \left( \frac{\pi}{2} \right) \quad (3)$$

考虑到  $\text{sinc}$  函数的性质:

$$\text{sinc}(0) = 1$$

$$\text{sinc}(n) = 0 \quad \text{当 } n \text{ 为非零值时.}$$

故  $C_0 = H/2$ , 于是(1)式化为:

$$t(x) = \frac{H}{2} + H \left[ \left( \text{sinc} \frac{1}{2} \right) \cos 2\pi \frac{x}{\tau} + \left( \text{sinc} \frac{3}{2} \right) \cos 2\pi \frac{3x}{\tau} + \left( \text{sinc} \frac{5}{2} \right) \cos 2\pi \frac{5x}{\tau} + \dots \right] \quad (4)$$

$$\text{或} \quad t(x) = \frac{H}{2} + H \left[ \left( \text{sinc} \frac{1}{2} \right) \cos 2\pi \gamma_0 x + \left( \text{sinc} \frac{3}{2} \right) \cos 2\pi (3\gamma_0) x + \left( \text{sinc} \frac{5}{2} \right) \cos 2\pi (5\gamma_0) x + \dots \right] \quad (5)$$

由(5)式可知, 矩形光栅透过的为空间频率  $\gamma_0, 3\gamma_0, 5\gamma_0, \dots$  等诸正弦强度谱分量。

## 三、衍射受限系统光学传递函数 (OTF) 简述

对于相干光照明的衍射受限系统<sup>[1]</sup> (称相干系统), 象的复振幅频谱  $G_i(f_x, f_y)$  中每一分量只决定于物复振幅频谱  $G_o(f_x, f_y)$  中相应的分量, 其比值为:

$$H(f_x, f_y) = G_i(f_x, f_y) / G_o(f_x, f_y) \quad (6)$$

式中  $f_x, f_y$  为二维物函数的空间频率变量,  $H(f_x, f_y)$  称为相干传递函数, 粗体字表示复值函数。由(6)可知, 相干系统物象、复振幅频谱变换是线性的, 故  $H(f_x, f_y)$  等效为复振幅频谱线性滤波器, 如频域取反射坐标, 则  $H(f_x, f_y)$  表示为<sup>[2]</sup>:

$$H(f_x, f_y) = p(\lambda d_i f_x, \lambda d_i f_y) \quad (7)$$

这里，只讨论衍射受限系统，认为透镜为无象差的，故光瞳函数取实函数  $p(\lambda d_i f_x, \lambda d_i f_y)$ ，其中  $d_i$  为理想高斯象距， $\lambda$  为相干照明光波的波长，如图 2 所示。

对于不相干系统，物、象光强度归一化频谱亦有与(6)式类似的关系：

$$K(f_x, f_y) = F_i(f_x, f_y) / F_o(f_x, f_y) \quad (8)$$

$K(f_x, f_y)$  称为光学传递函数 (OTF)，可知，物、象光强度频谱变换也是线性的，故  $K(f_x, f_y)$  亦等效为强度谱的线性滤波器，而  $K(f_x, f_y)$  表为<sup>[2]</sup>：

$$K(f_x, f_y) = \iint_{-\infty}^{\infty} p\left(\xi - \frac{\lambda d_i f_x}{2}, \eta - \frac{\lambda d_i f_y}{2}\right) \cdot p\left(\xi + \frac{\lambda d_i f_x}{2}, \eta + \frac{\lambda d_i f_y}{2}\right) d\xi d\eta \quad (9)$$

(9) 式中  $\lambda$  应理解为不相干照明光波的中心波长。

#### 四、衍射受限系统含聚焦误差时的OTF

若高斯成象面  $x_i, o_i, y_i$  沿光轴方向移动一个很小位移量  $z$ ，称  $z$  为偏离量，如图 2 所示，这时有：

$$1/d_o + 1/(d_i + z) - 1/f = \epsilon \quad (10)$$

$$\text{或 } |\epsilon| = z/d_i^2 \quad (11)$$

(10) 式中  $f$  为薄透镜的焦距，(10) 式称系统聚焦不足 (defect of focus)，它等效在无象差透镜的光瞳上引入一个象差函数  $W(\xi, \eta)$ <sup>[3]</sup>：

$$W(\xi, \eta) = \frac{1}{2} \frac{(l/2)^2}{d_i^2} r^2 z \quad (12)$$

(12) 式中  $r^2 \leq (\xi^2 + \eta^2) / \left(\frac{l}{2}\right)^2$ ，并且  $W(\xi, \eta)$  亦可表为<sup>[4]</sup>：

$$W(\xi, \eta) = \frac{1}{2} \epsilon (\xi^2 + \eta^2) \quad (13)$$

当  $r=1$ ， $W(\xi, \eta)$  取最大值  $\omega_1$ ，即

$$\omega_1 = W(\xi, \eta)|_{\text{Max}} = \frac{1}{8} \left(\frac{l}{d_i}\right)^2 z = \frac{1}{8} \epsilon l^2 \quad (14)$$

$\omega_1$  表征聚焦误差严重程度的量度，其量纲  $[\omega_1] = [\text{长度}]$ ，在引入象差函数  $W(\xi, \eta)$  之后，透

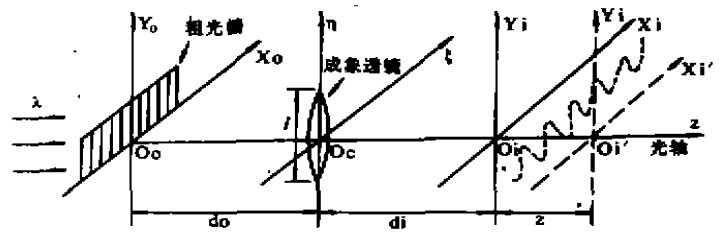


图 2

镜之光瞳函数应为:

$$P(\xi, \eta) = p(\xi, \eta)e^{jkz + i\epsilon^2 z^2} \quad (15)$$

如果光瞳内光强度均匀, 则(15)式化为:

$$P(\xi, \eta) = e^{jkz + i\epsilon^2 z^2} \quad (16)$$

(15)式中 $k = 2\pi/\lambda$ , (16)式指数函数前忽略了一个无关重要的常数, 此时, 光学传递函数应表为<sup>[5]</sup>:

$$K(f_x, f_y) = \iint_{\omega(f_x, f_y)} P\left(\xi - \frac{\lambda d_x f_x}{2}, \eta - \frac{\lambda d_y f_y}{2}\right) P^*\left(\xi + \frac{\lambda d_x f_x}{2}, \eta + \frac{\lambda d_y f_y}{2}\right) d\xi d\eta / \iint_{\omega(0,0)} d\xi d\eta \quad (17)$$

(17)式中 $\omega(f_x, f_y)$ 为P函数自相关积分限, 亦两光瞳重叠的部分面积,  $\omega(0, 0)$ 为两光瞳完全重合的面积, 即 $\pi(l/2)^2$ , 把(15), (16)代入(17)式得:

$$K(f_x, f_y) = \iint_{\omega(f_x, f_y)} e^{jk\frac{\epsilon}{2}\left[\left(\xi - \frac{\lambda d_x f_x}{2}\right)^2 + \left(\eta - \frac{\lambda d_y f_y}{2}\right)^2\right]} \cdot e^{-jk\frac{\epsilon}{2}\left[\left(\xi + \frac{\lambda d_x f_x}{2}\right)^2 + \left(\eta + \frac{\lambda d_y f_y}{2}\right)^2\right]} d\xi d\eta / \iint_{\omega(0,0)} d\xi d\eta \quad (18)$$

对于圆形光瞳  $|f_x| = |f_y| = \rho$ , 于是经过较繁的计算(见附录), (18)式化为:

$$K(\rho) = \frac{4\sqrt{2}}{l^2 B} J_1(Z) \quad (19)$$

(19)式中  $A = \sqrt{(l/2)^2 - (\lambda d_x \rho / \sqrt{2})^2}$ ,  $B = k\epsilon \lambda d_x \rho$ ,  $Z = \sqrt{2} AB$ ,  $J_1$ 为1阶 Bessd 函数。当 $\sqrt{2} AB = 3.8173$ ,  $J_1(Z) = 0$ 。于是, 在聚焦误差十分严重时, 即 $1 - \rho^2 / 2\rho_0^2 \cong 1$ 时, 该系统的截止频率 $\rho_c$ 为:

$$\rho_c = 3.8173 \cdot \frac{\lambda l^2}{4\sqrt{2}\pi\omega_1} \cong \frac{\lambda}{4.4\omega_1} \rho_0 \quad (20)$$

(20)式中 $\rho_0 = l/2\lambda d_x$ 为相干系统截止频率。因而, 矩形光栅作为透照物体, 经成像系统后, 强度谱中的高频分量可以完全被衰减掉, 接收面上得到近似程度很高的正弦型光强分布。

实际的实验装置, 采用栅距 $\tau = 0.635\text{mm}$ 的矩形光栅尺, 光学系统把栅距缩小为 $0.200\text{mm}$ (它对应于光学扫描器中10个光电二极管), 故横向放大倍率 $M = 1/3.175$ , 粗光栅位移测量系统要求把矩形光栅象变为正弦型, 由(20)式应满足下列条件:

$$\frac{1}{M\tau} = \frac{\lambda}{4.4\omega_1} \cdot \frac{l}{2\lambda d_x} = \frac{1}{8.8\omega_1} \left(\frac{l}{d_x}\right) \quad (21)$$

联合(14)式，可计算出 $w_1$ 和 $z$ 值，令 $l = 6.3mm$ （透镜直径），象距 $d_1 = 20.5mm$ 代入(21)得：

$$w_1 = \frac{1}{8.8} \left( \frac{l}{d_1} \right) M r \cong 8\lambda \quad (22)$$

式中 $\lambda = 0.9 \times 10^{-3}mm$ ，它是我们采用砷化镓红外发光二极管照明光波的中心波长。将(22)代入(14)式得偏离量 $z$ 为：

$$z = 8w_1 \left( \frac{d_1}{l} \right)^2 \cong 0.6mm \quad (23)$$

计算结果与实验数据吻合，观察到的光学扫描器视频输出波形如图3照片所示。换言之，在系统聚焦误差十分严重时，经过详细计算光学传递函数，并获得重要公式(20)，从而揭示了矩形光栅正弦象的物理成因。



图3 光学扫描器视频输出波形

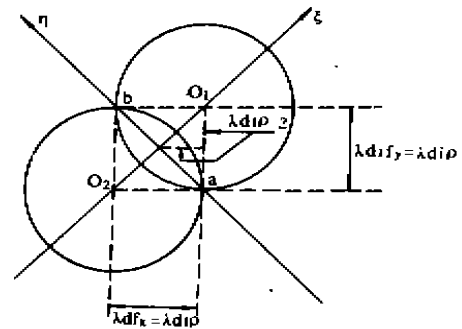


图4

### 附录

如图4所示，在空域中两光锥的方式为：

$$\left. \begin{aligned} \left( \xi - \frac{\lambda d_1 \rho}{\sqrt{2}} \right)^2 + \eta^2 &= (l/2)^2 \\ \left( \xi + \frac{\lambda d_1 \rho}{\sqrt{2}} \right)^2 + \eta^2 &= (l/2)^2 \end{aligned} \right\} \quad (24)$$

它们的交点分别为：

$$\left. \begin{aligned} a &= -\sqrt{(l/2)^2 - (\lambda d_1 \rho / \sqrt{2})^2} \\ b &= \sqrt{(l/2)^2 - (\lambda d_1 \rho / \sqrt{2})^2} \end{aligned} \right\} \quad (25)$$

由(24)得：

$$\xi = \sqrt{(l/2)^2 - (\lambda d_1 \rho / \sqrt{2})^2} - \eta^2 = \sqrt{A^2 - \eta^2} \quad (26)$$

(26)式中 $A = \sqrt{(l/2)^2 - (\lambda d_1 \rho / \sqrt{2})^2}$   $\therefore a = -A, b = A$

令 $B = k e \lambda d_1 \rho, Z = \sqrt{2} AB$ ，由(18)式得：

$$\begin{aligned}
K(\rho) &= \frac{4}{\pi l^2} \int_{-A}^A e^{jk\epsilon\lambda d_i \rho} d\xi \int_{-\sqrt{A^2-\eta^2}}^{\sqrt{A^2-\eta^2}} e^{jk\epsilon\lambda d_i \rho \eta} d\eta \\
&= \frac{4}{\pi l^2} \int_{-A}^A \frac{1}{jk\epsilon\lambda d_i \rho} e^{jk\epsilon\lambda d_i \rho \xi} d\xi \Big|_{-\sqrt{A^2-\eta^2}}^{\sqrt{A^2-\eta^2}} \cdot e^{jk\epsilon\lambda d_i \rho \eta} d\eta \\
&= \frac{4}{\pi l^2} \cdot \frac{1}{jB} \int_{-A}^A \left( e^{jk\epsilon\lambda d_i \rho \sqrt{A^2-\eta^2}} - e^{-jk\epsilon\lambda d_i \rho \sqrt{A^2-\eta^2}} \right) \cdot e^{jB\eta} d\eta \\
&= \frac{4}{\pi l^2} \cdot \frac{1}{jB} \int_{-A}^A \left( e^{jB\sqrt{A^2-\eta^2}} - e^{-jB\sqrt{A^2-\eta^2}} \right) \cdot e^{jB\eta} d\eta \quad (27)
\end{aligned}$$

令  $\eta = A \sin \theta, d\eta = A \cos \theta d\theta$ , 当  $\begin{cases} \eta = A & \theta = \frac{\pi}{2} \text{ 和 } \sqrt{A^2-\eta^2} = A \cos \theta \\ \eta = -A & \theta = -\frac{\pi}{2} \end{cases}$

于是

$$\begin{aligned}
K(\rho) &= \frac{4}{\pi l^2} \cdot \frac{1}{jB} \int_{-\frac{\pi}{2}}^{\frac{\pi}{2}} (e^{jAB \cos \theta} - e^{-jAB \cos \theta}) \cdot e^{jAB \cos \theta} \cdot A \cos \theta d\theta \\
&= \frac{4A}{j\pi l^2 B} \left[ \int_{-\frac{\pi}{2}}^{\frac{\pi}{2}} \{ e^{jAB(\cos \theta + j \sin \theta)} - e^{-jAB(\cos \theta - j \sin \theta)} \} \cos \theta d\theta \right] \\
&= \frac{4A}{j\pi l^2 B} \left[ \int_{-\frac{\pi}{2}}^{\frac{\pi}{2}} e^{jAB\sqrt{2} \sin\left(\frac{\pi}{4} + \theta\right)} \cos \theta d\theta = \right. \\
&\quad \left. - \int_{-\frac{\pi}{2}}^{\frac{\pi}{2}} e^{-jAB\sqrt{2} \cos\left(\frac{\pi}{4} + \theta\right)} \cos \theta d\theta \right] \\
&= \frac{4A}{j\pi l^2 B} \left[ \int_{\frac{\pi}{4}}^{\frac{3\pi}{4}} e^{jZ \sin\left(\frac{\pi}{4} + \theta\right)} \cdot \frac{\sqrt{2}}{2} \left[ \sin\left(\frac{\pi}{4} + \theta\right) \right. \right. \\
&\quad \left. \left. + \cos\left(\frac{\pi}{4} + \theta\right) \right] d\left(\theta + \frac{\pi}{4}\right) \right. \\
&\quad \left. - \int_{\frac{3\pi}{4}}^{\frac{\pi}{4}} e^{-jZ \cos\left(\frac{\pi}{4} + \theta\right)} \cdot \frac{\sqrt{2}}{2} \left[ \sin\left(\frac{\pi}{4} + \theta\right) + \right. \right.
\end{aligned}$$

$$\begin{aligned}
& + \cos\left(\frac{\pi}{4} + \theta\right) \Big] d\left(\theta + \frac{\pi}{4}\right) \\
& = \frac{4A}{j\pi l^2 B} \left\{ \frac{\sqrt{2}}{2} \int_{-\frac{\pi}{2} + \frac{\pi}{4}}^{\frac{\pi}{2} + \frac{\pi}{4}} e^{jZ \sin \Theta} [\sin \Theta + \cos \Theta] d\Theta \right. \\
& \quad \left. - \frac{\sqrt{2}}{2} \int_{-\frac{\pi}{2} + \frac{\pi}{4}}^{\frac{\pi}{2} + \frac{\pi}{4}} e^{-jZ \cos \Theta} [\sin \Theta + \cos \Theta] d\Theta \right\} \quad (28)
\end{aligned}$$

这里  $\Theta = \theta + \pi/4$  并且  $\cos \theta + \sin \theta = \sin\left(\frac{\pi}{2} + \theta\right) + \sin \theta = \sqrt{2} \sin \Theta$

$$\cos \theta = \sin \theta \left(\frac{\pi}{2} + \theta\right) = \sin\left(\frac{\pi}{4} + \theta + \frac{\pi}{4}\right) = \frac{\sqrt{2}}{2} [\sin \Theta + \cos \Theta]$$

于是：

$$\begin{aligned}
K(\rho) & = \frac{2\sqrt{2}A}{j\pi l^2 B} \left[ \int_{-\frac{\pi}{4}}^{\frac{3}{4}\pi} e^{jZ \sin \Theta} \sin \Theta d\Theta + \frac{1}{jZ} e^{jZ \sin \Theta} \Big|_{-\frac{\pi}{4}}^{\frac{3}{4}\pi} \right. \\
& \quad \left. - \int_{-\frac{\pi}{4}}^{\frac{3}{4}\pi} e^{-jZ \cos \Theta} \cos \Theta d\Theta + \frac{1}{-jZ} e^{-jZ \cos \Theta} \Big|_{-\frac{\pi}{4}}^{\frac{3}{4}\pi} \right] \\
& = \frac{2\sqrt{2}A}{j\pi l^2 B} \left[ \int_{-\frac{\pi}{4}}^{\frac{3}{4}\pi} e^{jZ \sin \Theta} \sin \Theta d\Theta - \int_{-\frac{\pi}{4}}^{\frac{3}{4}\pi} e^{-jZ \cos \Theta} \cos \Theta d\Theta \right] \\
& = \frac{2\sqrt{2}A}{j\pi l^2 B} \left[ \int_0^\pi \{ \cos[Z \sin \Theta] + j \sin[Z \sin \Theta] \} \sin \Theta d\Theta \right. \\
& \quad \left. - \int_0^\pi \{ \cos[Z \cos \Theta] - j \sin[Z \cos \Theta] \} \cos \Theta d\Theta \right] \quad (29)
\end{aligned}$$

这里，根据光瞳的园对称性，已把  $-\frac{\pi}{4} \rightarrow \frac{3}{4}\pi$  积分限，换为  $0 \rightarrow \pi$  积分限。于是  $K(\rho)$  化为：

$$\begin{aligned}
K(\rho) & = \frac{2\sqrt{2}A}{j\pi l^2 B} \left\{ \left[ \int_0^\pi \cos(Z \sin \Theta) \sin \Theta d\Theta - \int_0^\pi \cos(Z \cos \Theta) \cos \Theta d\Theta \right] \right. \\
& \quad \left. + \left[ \int_0^\pi \sin(Z \sin \Theta) \sin \Theta d\Theta + \int_0^\pi \sin(Z \cos \Theta) \cos \Theta d\Theta \right] \right\} \quad (30)
\end{aligned}$$

我们引用部分积分法，可以证明  $\int_0^\pi \cos(Z \sin \Theta) \sin \Theta d\Theta = \int_0^\pi \cos(Z \cos \Theta) \cos \Theta d\Theta = 0$

$$\text{令} \quad \begin{cases} \cos(Z \sin \Theta) d\Theta = du \\ \sin \Theta = v \end{cases} \quad \text{则} \quad \begin{cases} u = \int_0^x \cos(Z \sin \Theta) d\Theta = \pi J_0(Z) \quad [6] \\ v = \cos \Theta d\Theta \end{cases}$$

于是:

$$\int_0^{\pi} \cos(Z \sin \Theta) \sin \Theta d\Theta = \pi J_0(Z) \sin \Theta \Big|_0^{\pi} - \int_0^{\pi} \pi J_0(Z) \cos \Theta d\Theta = 0 \quad (31)$$

同样可以证明:

$$\begin{aligned} \int_0^{\pi} \cos(Z \cos \Theta) \cos \Theta d\Theta &= \pi J_0(Z) \cos \Theta \Big|_0^{\pi} + \int_0^{\pi} \pi J_0(Z) \sin \Theta d\Theta \\ &= \pi J_0(Z) \cos \Theta \Big|_0^{\pi} - \pi J_0(Z) \cos \Theta \Big|_0^{\pi} \end{aligned} \quad (32)$$

以及  $\int_0^{\pi} \sin(Z \sin \Theta) \sin \Theta d\Theta = \int_0^{\pi} \sin(Z \cos \Theta) \cos \Theta d\Theta = \pi J_1(Z) \quad [6]$ , 故

$$\begin{aligned} K(\rho) &= \frac{2\sqrt{2}A}{j\pi l^2 B} [j\pi J_1(Z) + j\pi J_1(Z)] \\ &= \frac{4\sqrt{2}A}{l^2 B} J_1(Z) \end{aligned} \quad (33)$$

(32) 和 (33) 式中  $J_0$ 、 $J_1$  分别为贝塞尔零阶和一阶函数。当  $Z = 3.8173$ , 即  $\sqrt{2}AB = 3.873$  时,  $J_1(Z) = 0$ , 据此, 可知, 在聚焦误差时, 系统的截止频率  $\rho_c$  与相干截止频率  $\rho_0$  有下列关系:

$$\sqrt{2} k e \lambda d_1 \rho_c \sqrt{(1/2)^2 - (\lambda d_1 \rho_c / \sqrt{2})^2} = 3.8173$$

$$\text{或} \quad \frac{\sqrt{2}}{2} \pi l^2 \epsilon \frac{\rho_c}{\rho_0} \cdot \frac{1}{\lambda} \sqrt{1 - \frac{\rho_c^2}{2\rho_0^2}} = 3.8173 \quad (34)$$

当聚焦误差十分严重时有<sup>[7]</sup>:

$$1 - \rho_c^2 / 2 \rho_0^2 \cong 1 \quad (35)$$

根据 (14), (34) 式化为:

$$\frac{8\sqrt{2}}{2} \pi \omega_1 \cdot \frac{1}{\lambda} \cdot \frac{\rho_c}{\rho_0} \cong 3.8173$$

或

$$\rho_c \cong \frac{\lambda}{4.4\omega_1} \rho_0 \quad (36)$$



## 参 考 文 献

- [1] J. M. 席德门著, 詹达三, 董经武, 顾本源译: 付里叶光学导论, 北京, 科学出版社, 1976: 116—117
- [2] 同 上, 1976: 133—134
- [4] 同 上, 1976: 141—142
- [5] 同 上, 1976: 138—139
- [7] 同 上, 1976: 142
- [3] M. 玻恩, E. 沃耳夫著, 黄乐天, 陈熙谋, 陈秉乾译: 光学原理, 第五版, 北京, 科学出版社, 1981: 641—642
- [6] Watson G. N., A Treatise on The Theory of Bessel functions, 2nd. ed. cambridge at The University press, 1952: 20—21